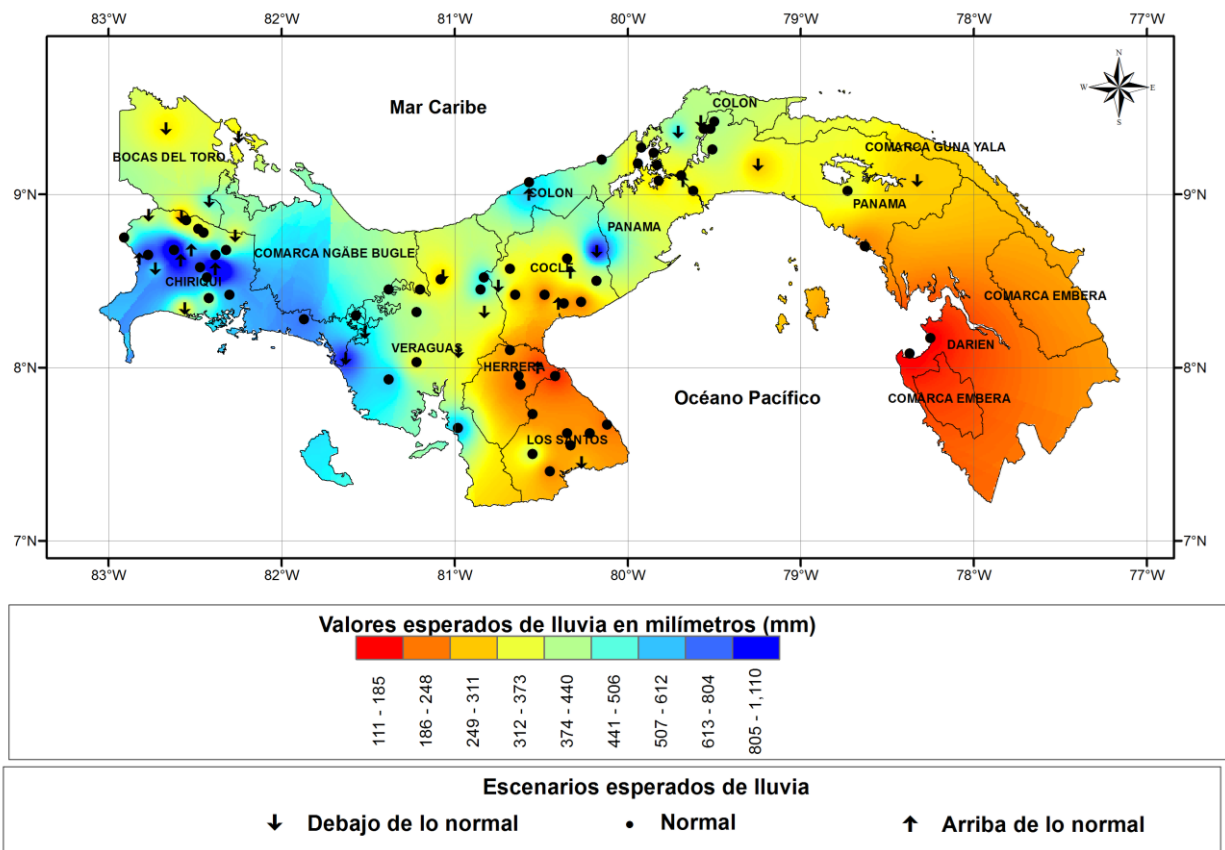


EMPRESA DE TRANSMISIÓN ELÉCTRICA, S. A.  
 DIRECCIÓN DE HIDROMETEOROLOGÍA  
 GERENCIA DE INVESTIGACIÓN Y APLICACIONES CLIMÁTICAS

**Pronóstico mensual de lluvia para Panamá de agosto de 2016**

**Mapa 1.** Valores y escenarios de lluvia esperados para el mes de agosto de 2016.



**Nota.** En la Tabla 2 se amplía con mayor detalle el escenario esperado de lluvia por estación, mostrado en el Mapa 1.

**Tabla 1.** Equivalencia de la simbología utilizada para clasificar los escenarios de lluvia de cada una de las estaciones meteorológicas.

Debajo de lo normal	Normal con tendencia a debajo		Normal	Normal con tendencia a arriba		Arriba de lo normal
↓↓↓	↓↓	↓	•	↑	↑↑	↑↑↑

**Tabla 2.** Escenario esperado de lluvia para el mes de agosto de 2016 para cada estación meteorológica, clasificado según los registros históricos (1981-2010).

Provincia	Estación meteorológica	Rango normal de lluvia (mm)		Escenario esperado
		Límite inferior	Límite superior	
Bocas del Toro	Bocas del Toro	269	347	↓↓↓
	Changuinola Sur	395	477	↓↓
	Sieyik	265	366	↓↓↓
Chiriquí	Angostura de Cochea	409	523	↑↑↑
	Bajo Grande	259	331	•
	Breñon	431	561	↑
	Caldera (Pueblo Nuevo)	334	491	•
	Camarón Tabasará	538	671	↓
	Cañas Gordas	279	379	•
	Cermeño	350	480	•
	Cerro Iglesia	360	474	•
	Cerro Punta	194	278	↓↓↓
	Cuesta de Piedra	541	883	•
	David	291	434	•
	Finca Lérida	239	312	•
	Fortuna (Casa Control)	235	393	↓
	Gómez Arriba	437	551	↓↓↓
	Las Martinas	275	329	↓↓
	Los Naranjos	218	340	•
	Los Palomos	443	604	•
	Macano Arriba	452	612	↑↑
	Paja de Sombrero	269	398	•
	Piedra Candela	284	468	↓
Potreriño Arriba	321	491	↑↑	
San Félix	491	619	•	
Santa Cruz	466	579	•	
Veladero Gualaca	376	511	•	
Coclé	Antón	165	214	•
	Chiguirí Arriba	474	654	↓
	Las Huacas de Quijé	347	459	↓↓
	Las Sabanas	198	365	•
	Olá	152	232	•
	Puerto Posada	156	199	↑↑↑
	Río Grande	156	218	•

Provincia	Estación meteorológica	Rango normal de lluvia (mm)		Escenario esperado
		Límite inferior	Límite superior	
	Río Hondo	146	203	●
	Santa Rita	239	345	●
	Sonadora	199	274	↑↑↑
	Toabre	171	288	●
Colón	Agua Clara	392	514	↓
	Caño	218	272	●
	Coclé del Norte	382	466	●
	Escandalosa	326	401	↓
	Gamboa	218	274	●
	Gatún Rain	267	340	●
	Guacha	217	267	●
	Icacal	356	429	●
Darién	San Lucas	404	475	↑
	Garachine	99	160	●
Herrera	Taimatí	99	160	●
	Divisa	173	250	●
	Llano de la Cruz	128	210	●
	Parita	79	141	↑↑
Los Santos	Pesé	122	211	●
	Cañas	209	254	↓
	El Cañafistulo	139	218	●
	La Llana	276	351	●
	La Miel	193	276	●
	Los Santos	98	178	●
	Macaracas	162	224	●
	Pocrí	138	215	●
Panamá	Tonosí	167	249	●
	Valle Rico	165	206	●
	Barro Colorado	236	302	●
	Candelaria	312	403	●
	Cascadas	240	307	↑↑↑
	Chico	273	402	●
	Chiman	157	201	●
	Loma Bonita	205	271	↓
	Montelirio	282	349	●
	Pedro Miguel	200	290	●
	Peluca	301	361	●
	Piríá (Poblado)	239	318	↓↓↓
Veraguas	Río Majé	221	355	●
	San Miguel	339	429	●
	Calobre	289	392	↓
	Cañazas	338	459	●
	Cerro Verde	335	551	●

Provincia	Estación meteorológica	Rango normal de lluvia (mm)		Escenario esperado
		Límite inferior	Límite superior	
	El Cobrizo	342	464	●
	El Marañón	255	391	●
	El Palmar	267	340	↓↓↓
	Laguna La Yeguada	363	558	●
	Los Valles	243	328	●
	Mariato	322	511	●
	Ojo de Agua	399	474	↓
	Santa Fe	231	314	●
	Santiago	287	372	↓↓
	Cative	395	480	●

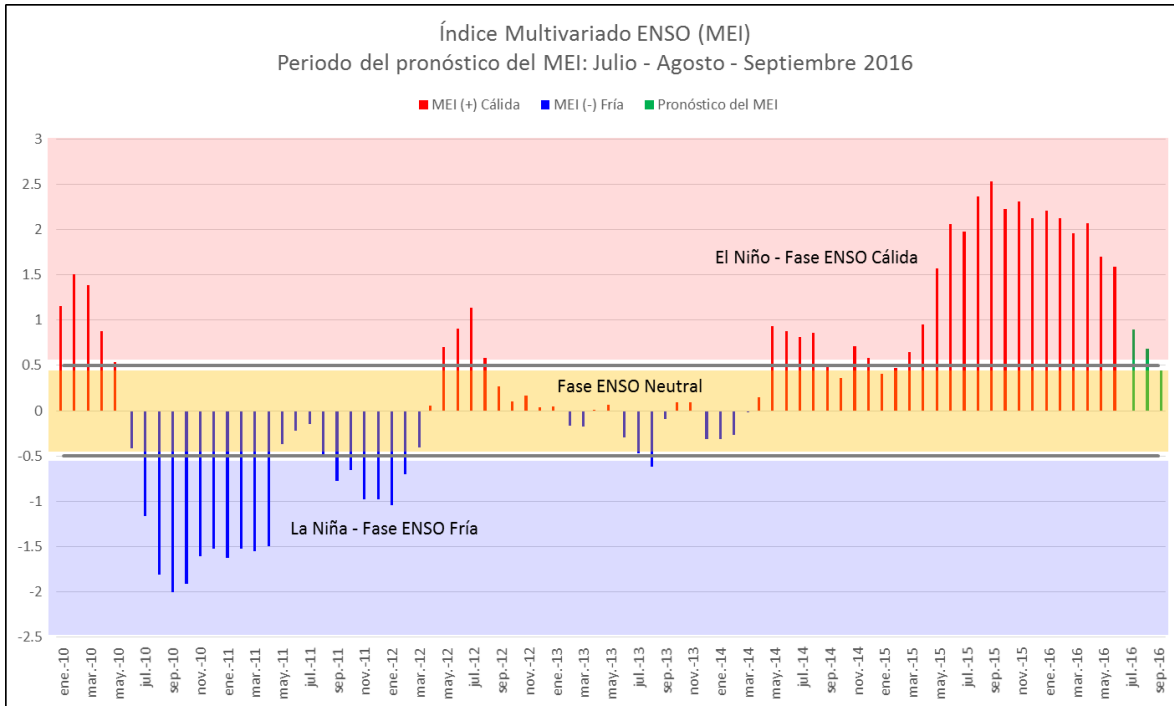
**Nota.** los escenarios de lluvia clasifican, según la climatología de cada región (ver Tabla 2), si los valores de lluvia esperados son: normales, bajo de lo normal o arriba de lo normal.

### Consideraciones especiales

Según el Informe de discusión del CENTRO DE PREDICIONES CLIMÁTICAS (CPC)/NCEP/NWS y el Instituto Internacional de Investigación para el Clima y la Sociedad (IRI), con fecha del 14 de julio de 2016, se evidencian anomalías atmosféricas y oceánicas que reflejan condiciones El Niño-Oscilación del Sur (ENSO, por sus siglas en inglés) neutrales.

Según los modelos estadísticos y dinámicos de la temperatura de la superficie del mar (SST, por su siglas en inglés) se pronostica una ocurrencia del fenómeno de La Niña débil en la región 3.4 (5°N-5°S, 120°W-170°W), con una posibilidad del 50% durante el trimestre agosto, septiembre y octubre de 2016.

**Gráfica 1.** Registros del Índice Multivariado del ENSO (MEI, por sus siglas en inglés) para el periodo de enero de 2010 a junio de 2016 y sus respectivos pronósticos para los meses de julio, agosto y septiembre de 2016.



**Nota.** El MEI es un indicador para monitorear el fenómeno del ENSO, éste se basa en las seis principales variables observables sobre el Océano Pacífico Tropical: presión al nivel del mar (P), componentes de viento superficial zonal (U) y meridional (V), temperatura sobre la superficie del mar (SST), temperatura del aire en superficie (A) y fracción total de nubosidad en el cielo (C). El área de la gráfica sombreada en rojo, muestra valores positivos del MEI y están relacionados con las fases cálidas del ENSO (también denominada El Niño). El área de la gráfica sombreada en azul, muestra valores negativos del MEI y están relacionados con las fases frías del ENSO (también denominada La Niña). Los valores del MEI dentro de la franja amarilla están relacionados con la fase neutra del ENSO.

Según la Gráfica 1, el pronóstico del MEI para los meses de julio, agosto y septiembre de 2016 indica una transición de condiciones positivas del MEI a neutras, es decir que las condiciones océano-atmosféricas estarán retornando a su patrones normales, favoreciendo así las condiciones de obtener lluvias normales durante este trimestre.

**Fuentes:**

- [http://www.cpc.ncep.noaa.gov/products/analysis\\_monitoring/enso\\_advisory/ensodisc\\_Sp.pdf](http://www.cpc.ncep.noaa.gov/products/analysis_monitoring/enso_advisory/ensodisc_Sp.pdf)
- <http://iri.columbia.edu/our-expertise/climate/forecasts/enso/current/>
- [http://iri.columbia.edu/our-expertise/climate/forecasts/enso/current/?enso\\_tab=enso-sst\\_table](http://iri.columbia.edu/our-expertise/climate/forecasts/enso/current/?enso_tab=enso-sst_table)